



UNIVERSIDADE ESTADUAL DE CAMPINAS  
INSTITUTO DE MATEMÁTICA, ESTATÍSTICA E COMPUTAÇÃO CIENTÍFICA  
DEPARTAMENTO DE MATEMÁTICA APLICADA



THIAGO FELIPE CASTRO CARRENHO

## **Novas aplicações da representação matricial de partições**

Campinas  
11/01/2021

THIAGO FELIPE CASTRO CARRENHO

## **Novas aplicações da representação matricial de partições\***

Monografia apresentada ao Instituto de Matemática, Estatística e Computação Científica da Universidade Estadual de Campinas como parte dos requisitos para obtenção de créditos na disciplina Projeto Supervisionado, sob a orientação do(a) Prof. José Plínio de Oliveira Santos.

---

\*Este trabalho foi financiado pelo CNPq, projeto 135119/2020.

## Resumo

Este projeto tem por finalidade apresentar a implementação de um algoritmo que calcule o número de partições irrestritas de  $n \in \mathbb{N}$  a partir de uma bijeção entre o conjunto de partições irrestritas de  $n$  e um conjunto de matrizes de duas linhas de inteiros não negativos.

**Palavras-Chave:** Partições irrestritas. Matrizes de duas linhas.

## Abstract

This project aims to present an implementation of an algorithm that computes the number of irrestrict partitions of  $n \in \mathbb{N}$  from a bijection between the set of irrestrict partitions of  $n$  and a set of two-line matrices of non-negative integers.

**Keywords:** Irrestrict partitions. Two-line matrices

# Conteúdo

<b>1</b>	<b>Introdução</b>	<b>6</b>
<b>2</b>	<b>Desenvolvimento</b>	<b>8</b>
2.1	Cálculo de $T_j^{(\ell)}$ . . . . .	9
2.2	Cálculo de $\mathbb{D}_\ell$ . . . . .	10
2.3	Algoritmo final . . . . .	12
<b>3</b>	<b>Resultados</b>	<b>12</b>
<b>4</b>	<b>Conclusão</b>	<b>15</b>
<b>5</b>	<b>Anexos</b>	<b>16</b>
5.1	Implementação do cálculo de $T_j^{(\ell)}$ . . . . .	16
5.2	Implementação da função soma . . . . .	16
5.3	Implementação do cálculo de $\mathbb{D}_\ell$ . . . . .	17
5.4	Implementação da função principal: cálculo de $p(n)$ . . . . .	17
	<b>Bibliografia</b>	<b>19</b>

# 1 Introdução

Partindo de algumas definições, vamos encontrar a bijeção entre o conjunto de partições irrestritas de  $n$  e um conjunto de matrizes de duas linhas de inteiros não negativos.

**Definição 1.1** (Partição). *Uma partição de  $n \in \mathbb{N}$  é uma coleção de inteiros positivos cuja soma é  $n$ , isto é,  $\Omega = \{c_1, c_2, \dots, c_s\}$  é uma partição de  $n$  se  $c_1 + c_2 + \dots + c_s = n$ . A ordem das partes  $c_1, c_2, \dots, c_s$  é irrelevante, por isso podemos pedir uma ordenação específica. Por questão de facilidade, vamos pedir que  $c_1 \geq c_2 \geq \dots \geq c_s \geq 1$ .*

**Definição 1.2** (Conjunto de partições).  $\mathbb{P}(n)$  é o conjunto de partições de  $n$  se

$$\mathbb{P}(n) = \{\Omega = \{c_1, c_2, \dots, c_s\} | c_1 + c_2 + \dots + c_s = n\}$$

E o número de partições de  $n$  é  $p(n) = \#\mathbb{P}(n)$ .

**Definição 1.3.**  $\mathbb{M}(n)$  é o conjunto de todas matrizes de duas linhas do tipo

$$M = \begin{pmatrix} a_1 & a_2 & \dots & a_s \\ b_1 & b_2 & \dots & b_s \end{pmatrix}$$

onde  $a_j, b_j \in \mathbb{N} \cup \{0\}$  e

$$a_s = 1, \quad a_j = a_{j+1} + b_{j+1} \quad \text{e} \quad \sum_{i=1}^s (a_i + b_i) = n$$

*Esta definição é um caso particular de uma definição mais geral  $\mathbb{M}(n, c, \lambda)$ , apresentada em Godinho and Santos [2020] o caso em que  $c = 1$  e  $\lambda = 0$ , que é o caso específico para partições irrestritas.*

Tendo uma matriz de duas linhas desta forma, tomemos  $c_j = a_j + b_j$ , como definido  $a_j, b_j \in \mathbb{N} \cup \{0\}$  e  $a_j = a_{j+1} + b_{j+1} \quad \forall j = 1, \dots, s$ , temos que  $c_j \geq c_{j+1}$ , isto é,  $\{a_1 + b_1, a_2 + b_2, \dots, a_s + b_s\}$  é uma partição de  $n$ . Dessa forma, vemos que cada matriz se relaciona a uma única partição.

Agora, tendo uma partição  $\{c_1, c_2, \dots, c_s\}$ , tomemos  $a_s = 1$  e  $b_s = c_s - 1$  para a última coluna, e as outras colunas com  $a_j = a_{j+1} + b_{j+1}$  e  $b_j = c_j - a_j$ , para  $j = 1, \dots, s - 1$ , obtendo uma matriz pertencente a  $\mathbb{M}(n)$ .

Além disso, é fácil perceber que, por estes dois processos, uma matriz  $M$  sempre será ligada a uma partição  $\Omega$ , e esta partição sempre será ligada à mesma matriz  $M$ . Assim, temos uma bijeção entre o conjunto de partições  $\mathbb{P}(n)$  e o conjunto  $\mathbb{M}(n)$ .

**Exemplo 1.1.** *Tomando  $n = 5$ , listamos todas as partições e as respectivas matrizes abaixo*

$c_1 + c_2 + \dots + c_s$	$\{c_1, c_2, \dots, c_s\}$	$\begin{pmatrix} a_1 & a_2 & \dots & a_s \\ b_1 & b_2 & \dots & b_s \end{pmatrix}$
5	{5}	$\begin{pmatrix} 1 \\ 4 \end{pmatrix}$
4 + 1	{4, 1}	$\begin{pmatrix} 1 & 1 \\ 3 & 0 \end{pmatrix}$
3 + 2	{3, 2}	$\begin{pmatrix} 2 & 1 \\ 1 & 1 \end{pmatrix}$
3 + 1 + 1	{3, 1, 1}	$\begin{pmatrix} 1 & 1 & 1 \\ 2 & 0 & 0 \end{pmatrix}$
2 + 2 + 1	{2, 2, 1}	$\begin{pmatrix} 2 & 1 & 1 \\ 0 & 1 & 0 \end{pmatrix}$
2 + 1 + 1 + 1	{2, 1, 1, 1}	$\begin{pmatrix} 1 & 1 & 1 & 1 \\ 1 & 0 & 0 & 0 \end{pmatrix}$
1 + 1 + 1 + 1 + 1	{1, 1, 1, 1, 1}	$\begin{pmatrix} 1 & 1 & 1 & 1 & 1 \\ 0 & 0 & 0 & 0 & 0 \end{pmatrix}$

*Assim, podemos ver também que  $p(5) = 7$ .*

Uma explicação mais detalhada sobre partições pode ser encontrada em Santos et al. [2007], para saber mais sobre a representação de partições em matrizes de duas linhas, veja Santos et al. [2011], e uma visão de um procedimento por caminhos, e uma aproximação obtida a partir deste procedimento são abordados em Santos and Matte [2018].

Obtendo a bijeção, temos que a cardinalidade dos dois conjuntos é a mesma, e

este algoritmo calcula quantas matrizes existem no conjunto  $\mathbb{M}(n)$ , que, por haver bijeção com  $\mathbb{P}(n)$ , é o mesmo que o número de partições irrestritas de  $n$ .

Partindo disso, a dedução do algoritmo depende da análise feita no artigo Godinho and Santos [2020], que possui um caso especial para partições irrestritas, uma fórmula fechada para este caso, e é este algoritmo que buscamos implementar.

## 2 Desenvolvimento

Dado  $n \in \mathbb{N}$ , queremos que o algoritmo nos devolva  $\#\mathbb{M}(n)$ , isto é,  $p(n)$ . Para tal, Godinho and Santos [2020] define blocos de matrizes e descendentes de cada um destes blocos, o artigo é baseado no caso com algumas restrições ( $\mathbb{M}(n, c, \lambda)$ ), mas no caso irrestrito (lembrando que  $\mathbb{M}(n) = \mathbb{M}(n, 1, 0)$ ), sabemos quantos e quais são os blocos:

$$B(0) = \begin{pmatrix} 1 \\ n-1 \end{pmatrix}; B(1) = \begin{pmatrix} 1 & 1 \\ n-2 & 0 \end{pmatrix}; \dots; B(n-1) = \underbrace{\begin{pmatrix} 1 & 1 & \dots & 1 \\ 0 & 0 & \dots & 0 \end{pmatrix}}_{n \text{ colunas}}$$

Perceba que  $B(j)$  tem  $j+1$  colunas, isto é, temos  $n$  blocos.

Cada um desses blocos tem uma família de descendentes criando uma árvore de matrizes. A maneira de calcular é por geração, isto é, na visão de árvore, contar por linha, o número de matrizes numa mesma linha, este número denotaremos por  $\mathbb{D}_\ell$ .

Para definir estes valores, precisamos do seguinte polinômio:

$$\mathcal{P}_0(x) = n - 2(x + 1)$$

Cuja raiz é  $x_0 = \frac{n}{2} - 1$ , e com esta obtemos  $\ell_0 = \left\lfloor \frac{n-2}{2} \right\rfloor + 1 = \left\lfloor \frac{n}{2} \right\rfloor$ , que é o número de gerações da família de matrizes.

Com  $\ell_0$  podemos definir os seguintes polinômios:

$$\mathcal{P}_1(x) = n - 1 - x \text{ e } \mathcal{P}_j(x) = n - 2j - x \text{ para } j = 2, \dots, \ell_0,$$

Cujas raízes são:

$$r_1 = n - 1 \text{ e } r_j = n - 2j \text{ para } j = 2, \dots, \ell_0.$$

Definamos então  $T_j^{(\ell)}$ , para  $j = 2, \dots, \ell - 1$ , que é um valor necessário para o cálculo de  $\mathbb{D}_\ell$ , da seguinte forma:

$$T_j^{(\ell)} = T_j^{(\ell)}(t_1, t_2, \dots, t_{j-1}) = \left\lfloor \frac{\mathcal{P}_\ell(t_1) - \sum_{i=\ell-j+3}^{\ell} i \cdot t_{\ell-i+2}}{\ell - (j - 2)} \right\rfloor. \quad (1)$$

Agora podemos definir  $\mathbb{D}_1 = r_1 + 1 = n$  (número de blocos, isto é, matrizes da primeira geração), e, usando  $T_j^{(\ell)}$  calculamos  $\mathbb{D}_\ell$ , para  $\ell = 2, \dots, \ell_0$ , definido como:

$$\mathbb{D}_\ell = \sum_{t_1=0}^{r_\ell} \sum_{t_2=0}^{T_2^{(\ell)}} \dots \sum_{t_{\ell-1}=0}^{T_{\ell-1}^{(\ell)}} \left( \left\lfloor \frac{\mathcal{P}_\ell(t_1) - \sum_{i=3}^{\ell} i \cdot t_{\ell-i+2}}{2} \right\rfloor + 1 \right) \quad (2)$$

Por fim, obtido todo  $\mathbb{D}_\ell$  para  $\ell = 2, \dots, \ell_0$ , temos o número de matrizes em cada geração, logo, o total de matrizes na família é, simplesmente, a soma desses valores:

$$p(n) = \sum_{\ell=1}^{\ell_0} \mathbb{D}_\ell = (r_1 + 1) + \sum_{\ell=2}^{\ell_0} \mathbb{D}_\ell$$

A dedução destas fórmulas está em Godinho and Santos [2020]. Tomando-as definidas como acima, passamos agora a implementar esses cálculos, e o faremos em forma de funções aninhadas.

## 2.1 Cálculo de $T_j^{(\ell)}$

Partindo de (1), queremos implementar uma função que receba, de entrada, valores de  $j$ ,  $\ell$  e um vetor  $\vec{t} = (t_1, \dots, t_{j-1})$  e devolva  $T_j^{(\ell)}(t_1, \dots, t_{j-1})$ , que deve ser natural.

Para o caso irrestrito, já sabemos a forma explícita de  $\mathcal{P}_\ell(x)$ , em especial neste

caso podemos substituir na fórmula, o que nos deixa com

$$T_j^{(\ell)} = T_j^{(\ell)}(t_1, t_2, \dots, t_{j-1}) = \left\lfloor \frac{n - 2\ell - t_1 - \sum_{i=\ell-j+3}^{\ell} i \cdot t_{\ell-i+2}}{\ell - (j - 2)} \right\rfloor.$$

Para a implementação da função, podemos perceber que  $t_i$  é equivalente a  $\vec{t}(i)$ , para  $i = 1, \dots, j - 1$ .

<p><b>Algoritmo 1:</b> Função <math>T_j^{(\ell)}(t_1, \dots, t_{j-1})</math></p> <p><b>Entrada:</b> <math>\ell \in \mathbb{N}</math>, <math>\ell \geq 2</math>, <math>j \in \{2, 3, \dots, \ell - 1\}</math> e <math>\vec{t} = (t_1, \dots, t_{j-1})</math>, vetor de tamanho <math>j - 1</math>, <math>n</math></p> <p>1 <math>s = 0</math>;</p> <p>2 <b>Para</b> <math>i = \ell - j + 3</math> até <math>\ell</math> <b>faça:</b></p> <p>3     <math>s = s + i \cdot t(\ell - i + 2)</math>;</p> <p>4 <math>T = \frac{n - 2\ell - t(1) - s}{\ell - (j - 2)}</math>;</p> <p>5 <math>T = \text{floor}(T)</math> (toma o maior inteiro menor ou igual a <math>T</math>);</p> <p><b>Saída:</b> <math>T_j^{(\ell)}(t_1, \dots, t_{j-1}) = T</math></p>
---

## 2.2 Cálculo de $\mathbb{D}_\ell$

Partindo de (2), queremos implementar uma função que receba, de entrada, valores de  $\ell$  e  $r_\ell$  (raiz de  $\mathcal{P}_\ell(x)$ ), e nos devolva o valor de  $\mathbb{D}_\ell$ .

Para o caso irrestrito, já sabemos a forma explícita de  $\mathcal{P}_\ell(x)$ , em especial neste caso podemos substituir na fórmula, o que nos deixa com

$$\mathbb{D}_\ell = \sum_{t_1=0}^{r_\ell} \sum_{t_2=0}^{T_2^{(\ell)}} \dots \sum_{t_{\ell-1}=0}^{T_{\ell-1}^{(\ell)}} \left( \left\lfloor \frac{n - 2\ell - t_1 - \sum_{i=3}^{\ell} i \cdot t_{\ell-i+2}}{2} \right\rfloor + 1 \right).$$

Façamos o somatório por recursão, pois o número de somatórios é variável, para isso, vamos dar como entrada o vetor, que carrega os valores atuais de  $t_1, t_2, \dots, t_\ell$ .

Então vamos criar uma função 'soma', que recebe ...

**Algoritmo 2:** Função soma

**Entrada:**  $\ell \in \mathbb{N}$ ,  $\ell \geq 2$ ,  $r_\ell$ ,  $\vec{t} = (t_1, \dots, t_{\ell-1})$ ,  $j$ , *somatorio*,  $n$

- 1 **Se**  $j = 1$  **então**
- 2      $T = r_\ell$ ;
- 3 **Senão**
- 4      $T = T_j^{(\ell)}(\vec{t})$ ;
- 5 **Para**  $t(j) = 0$  a  $T$  **faça:**
- 6     **Se**  $j = \ell - 1$  **então**
- 7          $somainterna = 0$ ;
- 8         **Para**  $i = 3$  até  $\ell$  **faça:**
- 9              $somainterna = somainterna + i \cdot t(\ell - i + 2)$ ;
- 10             $a = \frac{n - 2 \cdot \ell - t(1) - somainterna}{2}$ ;
- 11             $somatorio = somatorio + \text{floor}(a) + 1$ ;
- 12         **Senão**
- 13              $somatorio = \text{soma}(\vec{t}, \ell, r_\ell, somatorio, j + 1, n)$ ;

**Saída:** *somatorio*, valor a ser utilizado na função  $\mathbb{D}_\ell$

E então a função que calcula  $\mathbb{D}_\ell$  fica:

**Algoritmo 3:** Função  $\mathbb{D}_\ell$

**Entrada:**  $\ell \in \mathbb{N}$ ,  $\ell \geq 2$ ,  $n$ ,  $r_\ell$

- 1  $j = 1$ ;
- 2  $somatorio = 0$ ;
- 3  $t = (0, 0, \dots, 0)$  de  $\ell - 1$  dimensões;
- 4  $somatorio = \text{soma}(\vec{t}, \ell, r_\ell, somatorio, j)$ ;

**Saída:**  $somatorio = \mathbb{D}_\ell$

## 2.3 Algoritmo final

Com a função que calcula  $\mathbb{D}_\ell$ , basta somarmos os valores de  $\mathbb{D}_\ell$  para  $\ell = 2, \dots, \ell_0$ .

<b>Algoritmo 4:</b> Cálculo de $p(n)$	
---------------------------------------	--

<b>Entrada:</b> $n$
---------------------

<b>1</b> $\ell_0 = \lfloor \frac{n}{2} \rfloor;$
--

<b>2</b> Defina $r$ vetor de $\ell_0$ zeros;
--

<b>3</b> $r(1) = n - 1$
-------------------------

<b>4</b> $p = r(1) + 1$
-------------------------

<b>5 Para</b> $\ell = 2$ até $\ell_0$ <b>faça:</b>
--

<b>6</b> $r(\ell) = n - 2 \cdot \ell;$
--

<b>7</b> $d = \mathbb{D}_\ell(n, r_\ell)$ usando a função;
--

<b>8</b> $p = p + d;$
-----------------------

<b>Saída:</b> $p = p(n)$
--------------------------

## 3 Resultados

O principal resultado é o próprio algoritmo mostrado acima, implementado em funções em MATLAB, as implementações estão no anexo, para não poluir o texto. Fazendo um laço em  $n$  dessa função, conseguimos analisar melhor o comportamento do algoritmo.

Além do valor de  $p(n)$ , coletamos o tempo de processamento do algoritmo para os valores calculados, que foram de  $n = 1$  até  $n = 167$ .

Primeiro de tudo, o gráfico de  $n \times p(n)$  comprova que a função  $p(n)$  realmente explode para  $n$  crescente:

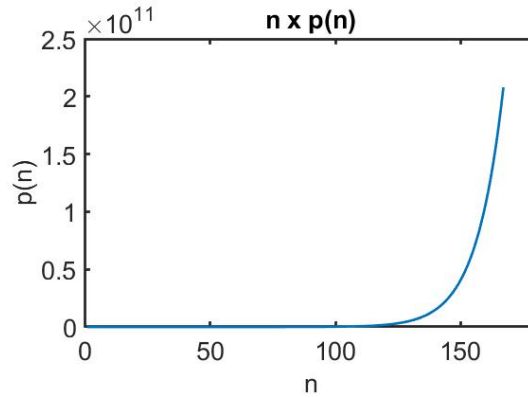


Figura 1:  $n \times p(n)$ ,  $n = 1 : 167$

Porém, é necessário dividir o gráfico em três menores, pois no Gráfico 1,  $p(100)$  aparenta ser um número próximo a 0, quando, na verdade, é da ordem de  $10^8$ . Tomamos, então, os sub-intervalos 1 : 100, 1 : 50 e 1 : 20 e obtivemos os seguintes gráficos:

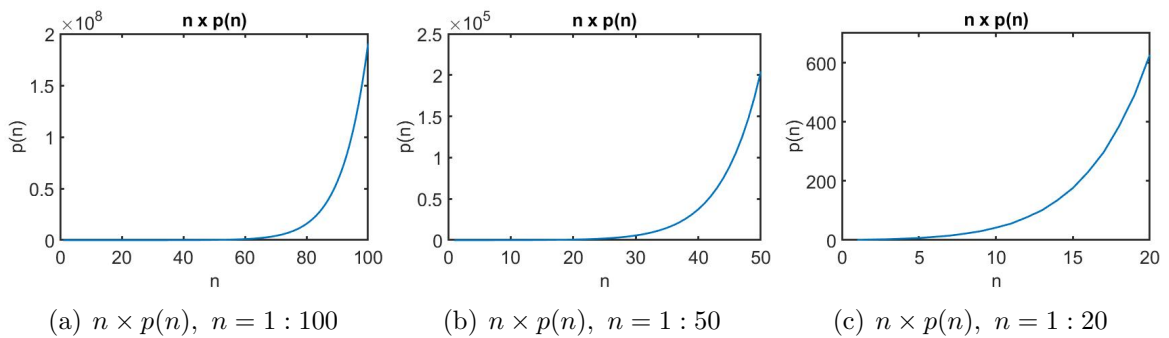


Figura 2:  $n \times p(n)$  para sub-intervalos

Tomando o gráfico log-log com estes mesmos valores, temos o gráfico 3 abaixo, que mostra que o comportamento da função é, não só extremamente crescente, mas mais crescente que exponencial.

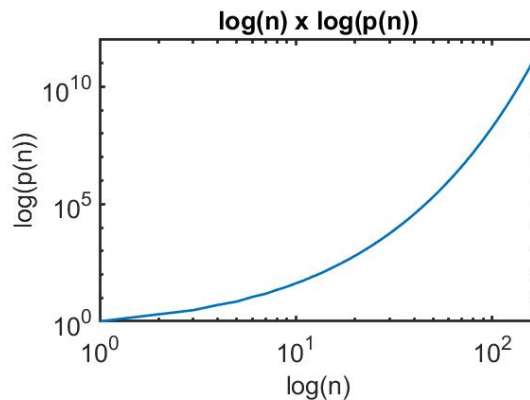


Figura 3:  $\log n \times \log p(n)$ ,  $n = 1 : 167$

Analisando agora, a velocidade do algoritmo, temos que o tempo gasto para achar cada resultado é aproximadamente proporcional ao próprio resultado  $p(n)$ , como o gráfico abaixo mostra (aproximadamente uma reta).

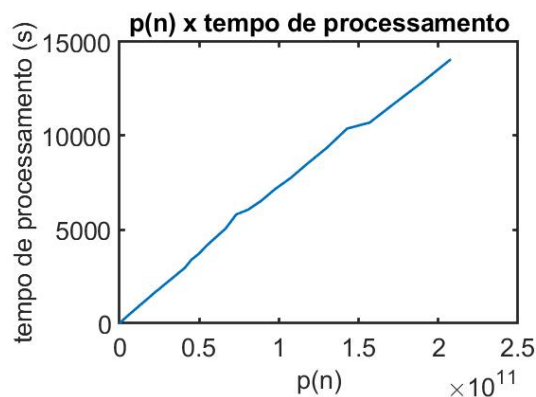


Figura 4:  $p(n) \times \text{tempo de processamento}$ ,  $n = 1 : 167$

Isto significa que, assim como a função  $p(n)$ , o tempo de processamento também cresce muito rapidamente, o gráfico abaixo, de  $n$  em função do tempo, nos dá uma boa noção deste crescimento.

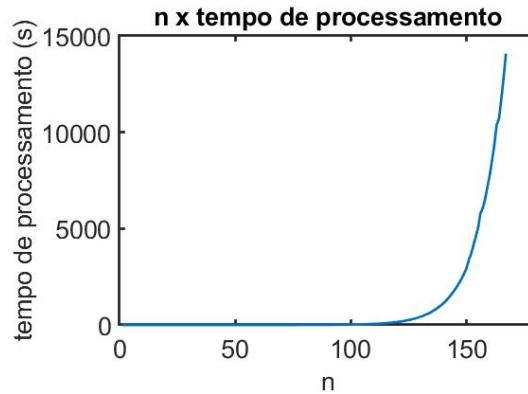


Figura 5:  $n \times$  tempo de processamento,  $n = 1 : 167$

Para simplificar a compreensão, a tabela abaixo mostra intervalos de tempo, e os valores de  $n$  cujo processamento se encaixa no intervalo.

Tempo de Processamento	Valores de $n$
Até 1 segundo	$n = 1 : 76$
De 1 segundo a 1 minuto	$n = 77 : 111$
De 1 minuto até 1 hora	$n = 112 : 151$
Mais de 1 hora	$n = 152 : 167$

Tabela 1: Intervalos de Tempo de Processamento

Com ela, percebe-se que os cálculos se tornam cada vez menos praticáveis para um computador simples.

## 4 Conclusão

Conclui-se que o algoritmo acima calcula o número de partições irrestritas de  $n$ , como era seu objetivo. Conclui-se também que a função  $p(n)$  tem um comportamento explosivo, cresce muito rapidamente.

Além disso, é possível concluir que o algoritmo é extremamente eficiente e viável, pois calcula valores até  $p(111)$  em menos de um minuto. Entretanto, o algoritmo perde valor para grandes valores de  $n$ , já que o tempo se torna impraticável, isto é, o algoritmo tem um 'limite', que depende de quanto tempo o computador pode estar alocado apenas para cálculo desta função.

## 5 Anexos

### 5.1 Implementação do cálculo de $T_j^{(\ell)}$

Implementação em MATLAB referente ao algoritmo 1.

Listing 1: Cálculo de  $T_j^{(\ell)}$

```
1 function T = Tj(j,l,t,n)
2     s = 0;
3     for i = (l-j+3):l
4         s = s+i*t(l-i+2);
5     end
6     T = (n-2*l-t(l)-s)/(l-j+2);
7     T = floor(T);
8 end
```

### 5.2 Implementação da função soma

Implementação em MATLAB referente ao algoritmo 2.

Listing 2: Função Soma

```
1 function somatorio = soma(t,l,rl,somatorio,j,n)
2     if j == 1
3         T = rl;
4     else
5         T = Tj(j,l,t,n);
6     end
7     for tj = 0:T
8         t(j) = tj;
9         if j == l-1
10            somainterna = 0;
11            for i = 3:l
12                somainterna = somainterna + i*t(l-i+2);
13            end
```

```

14         a = (n-2*l-t(1)-somainterna)/2;
15         somatorio = somatorio + floor(a) + 1;
16     else
17         somatorio = soma(t,l,rl,somatorio,j+1,n);
18     end
19 end
20 end

```

### 5.3 Implementação do cálculo de $\mathbb{D}_\ell$

Implementação em MATLAB referente ao algoritmo 2.

Listing 3: Cálculo de  $\mathbb{D}_\ell$

```

1 function somatorio = D(l,rl,n)
2     j = 1;
3     somatorio = 0;
4     t = zeros(l-1,1);
5     somatorio = soma(t,l,rl,somatorio,j,n);
6 end

```

### 5.4 Implementação da função principal: cálculo de $p(n)$

Implementação em MATLAB referente ao algoritmo 4.

Listing 4: Cálculo de  $p(n)$

```

1 function p = particao(n)
2     %Valores iniciais
3     lzero = floor(n/2);
4     r = zeros(lzero,1);
5     r(1) = n-1;
6     p = r(1)+1;
7
8     %Laco para somar D2, D3, ..., Dlzero
9     for l=2:lzero

```

```
10     r(1) = n-2*1;  
11     d=D(1,r(1),n);  
12     p = p+d;  
13     end  
14 end
```

## Bibliografia

Hemar Godinho and José Plínio O. Santos. A family of partitions equinumerous with the set of nodes of a family of trees. *INTEGERS*, 20, 2020. URL <http://math.colgate.edu/~integers/u101/u101.pdf>.

José Plínio O. Santos and Marília L. Matte. A new approach to integer partition. *Bulletin of the Brazilian Mathematical Society*, 2018. doi: <https://doi.org/10.1007/s00574-018-0082-z>.

José Plínio O. Santos, Margarida P. Mello, and Idani T.C. Murari. *Introdução à Análise Combinatória*. Editora Ciência Moderna Ltda., Rio de Janeiro, 2007.

José Plínio O. Santos, Paulo Mondek, and Andréia C. Ribeiro. New two-line arrays representing partitions. *Annals of Combinatorics*, 15(341), 2011. doi: <https://doi.org/10.1007/s00026-011-0099-0>.